

**А.П.Лохматов, А.И.Лещенко, П.В.Токмаков**

### **ОПРЕДЕЛЕНИЕ СОПРОТИВЛЕНИЯ, СОЗДАВАЕМОГО ДВУХВАЛКОВЫМИ НЕПРИВОДНЫМИ КЛЕТЬЮМ ПРИ ПРОКАТКЕ**

Выполнен анализ известных методов для расчета сопротивления, создаваемого двухвалковой неприводной клетью при деформации в ней металла в процессе прокатки. проведены расчеты с определением мощности, затрачиваемой на прокатку в комплексе «приводная – неприводная рабочие клети». Соавнение полученных значений с экспериментальными данными показали, что разница между ними достигает 10-50%. Сделано вывод о необходимости совершенствования методов расчета с определением сопротивления, создаваемого двухвалковой неприводной рабочей клетью в процессе прокатки.

**неприводные рабочие клети, сопротивление, создаваемое неприводной клетью, метод расчета**

**Постановка задачи.** Одним из путей повышения эффективности производства прокатной продукции является использование в линии непрерывного прокатного стана средств деформации металла с неприводным рабочим инструментом (неприводных рабочих клетей, неприводных деформационно–делительных устройств и др.). Сопротивление, создаваемое неприводной рабочей клетью (НК) при деформации в ней металла, является важным фактором, определяющим условия реализации процесса сортовой прокатки с использованием НК. К настоящему времени известен ряд зависимостей для расчета величины сопротивления, создаваемого НК [1–6]. Эти зависимости получены с использованием разных подходов (энергетического и силового равновесия) и рекомендованы для анализа и описания различных схем деформации в неприводных устройствах (двуухвалковые и многовалковые калибры, горячая и холодная прокатка, прокатка–прессование, прокатка–волочение).

**Изложение основного материала.** В работе [3] приведены следующие выражения для определения сопротивления, создаваемого НК с двухвалковым калибром:

–Зависимость, полученная из условия равновесия сил прокатного вала при двухмерной деформации,

$$\psi_0 = \frac{\sigma_{\pi}}{\sigma_{SHK}} = \frac{1+k_1\delta}{k_1} \left( \frac{1}{\eta} - 2 \left( \frac{1}{\eta} \right)^A e^B + 1 \right) \quad (1),$$

где  $\psi_0$  – коэффициент заднего подпора, определяемый отношением напряжения, созданного НК при деформации в ней раската, к напряжению текучести деформируемого металла в очаге деформации НК;  $k_1$  – показатель, характеризующий условия трения в валковых опорах НК и на

контакте металла с валком,  $k_1 = f_u r / f_\sigma R$ ;  $f_u$  – коэффициент трения в опорах неприводных валков;  $r$  – радиус опор неприводных валков;  $f_\sigma$  – показатель сил трения на поверхности касания деформируемого металла и неприводного валка;  $R$  – радиус неприводного валка;  $\delta$  – показатель деформации (загрузки НК),  $\delta = 2f_\sigma / \alpha_0$ ;  $\alpha_0$  – угол касания металла и валка в НК;

$\frac{1}{\eta}$  – коэффициент высотной деформации раската в НК,  $\frac{1}{\eta} = \frac{h_0}{h_1}$ ;  $A$  –

показатель степени,  $A = 0,5 + \frac{1}{\delta \left( \frac{1}{\eta} - 1 \right)}$ ;  $B$  – показатель степени,

$$B = \frac{\psi_0 + 2}{2\delta}.$$

– Зависимость, полученная из уравнения энергетического баланса процесса прокатки в НК,

$$\begin{aligned} \psi_0 &= \frac{\sigma_{II}}{\sigma_{SHK}} = 2f_\sigma \left[ \frac{R b_{cp}}{h_1 b_1} \frac{\alpha_0 - 2 \frac{b_1}{b_{cp}} q \gamma}{1+i} - \sqrt{\frac{R}{h_1}} \left( \operatorname{arctg} \sqrt{\frac{\Delta h}{h_1}} - 2q \operatorname{arctg} \sqrt{\frac{R}{h_1}} \gamma \right) + 0,09 \frac{b_0}{h_0} \frac{n}{1+n} \left[ \left( \frac{h_0}{h_1} \right)^{1+n} - 1 \right] \right] \\ &+ \frac{1}{\sqrt{3}} \frac{1}{f_\sigma} \left( \sqrt{1-k+k^2} \ln \frac{h_0}{h_1} + \frac{m}{4} \alpha_0 h_{cp} \left( \frac{1+k}{h_1} \xi + \frac{2-k}{h_0} \right) \right) \sqrt{1 + \left( k \frac{b_{cp}}{h_{cp}} \right)^2} + \frac{\alpha_0}{4} \sqrt{1 + \left( k \frac{b_0}{h_0} \right)^2} + \frac{b_{cp} R}{F_1 (1+i)} (2\gamma - \end{aligned} \quad (2)$$

где  $F_1$  – площадь раската на выходе из НК;  $i$  – опережение в НК;  $h_1$ ,  $b_1$  – размеры раската на выходе из НК;  $h_{cp}$ ,  $b_{cp}$  – средняя высота и ширина полосы в очаге деформации НК;  $\Delta h$  – абсолютное обжатие;  $q$  – показатель, характеризующий распределение касательных напряжений в очаге деформации и определяемый отношением среднего значения касательных напряжений в зоне опережения к среднему значению касательных напряжений на всей поверхности контакта;  $\gamma$  – нейтральный угол;  $n$  – коэффициент пропорциональности, определяемый отношением уширения полосы и ее обжатия;  $k$  – коэффициент распределения деформации, определяемый отношением скоростей линейной деформации в направлениях уширения и обжатия;  $m$  – поправочный коэффициент, определяющий интенсивность скорости деформации сдвига,  $m = 0,35$ ;  $\xi$  – корректирующий коэффициент.

Выражения для расчета коэффициентов  $q$ ,  $n$ ,  $k$ , и  $\xi$  приведены в работе [7].

Величину нейтрального угла  $\gamma$  в выражении (2) авторы определяют с учетом трения в подшипниковых опорах валков НК [8]

$$\gamma = \frac{\alpha_0}{2} \left(1 + \frac{f_{uw}}{f_\sigma} \frac{r}{R} n_\sigma\right) = \frac{\alpha_0}{2} \left(1 + \frac{f_{uw}}{f} \frac{r}{R}\right),$$

где  $n_\sigma$  – коэффициент напряженного состояния в очаге деформации НК;  $f$  – коэффициент трения при установившемся процессе прокатки.

Расчет величины  $\psi_0$  по выражению (1) выполняется методом последовательных приближений (методом итерации), так как оно в явном виде не решается.

Для определения  $\psi_0$  в явном виде, авторы [3] на основе зависимости (1) получили упрощенное выражение (без учета трения в опорах НК)

$$\psi'_0 = 2 \begin{pmatrix} 2 \left(\frac{1}{\eta}\right)^4 \\ \delta \ln \frac{\frac{1}{\eta} + 1}{\eta} - 1 \end{pmatrix}. \quad (3)$$

Согласно данным, приведенным в работе [3], значения величин  $\psi_0$  и  $\psi'_0$ , рассчитанных по выражениям (1) и (3), отличаются на 0,5–30% в зависимости от загрузки НК. Поэтому авторами [3] предложены соответствующие графики, позволяющие определять области использования выражений (1) и (3).

В работе [4] приведено следующее выражение для определения сопротивления, создаваемого НК с двухвалковым калибром:

$$\psi_0 = 2f_\sigma \sqrt{\frac{R}{h_1}} \left\{ 2 \operatorname{arctg} \left[ \sqrt{\frac{1}{\eta} - 1} \left( 1 + \frac{f_{uw} r}{f_\sigma R} \frac{2n_\sigma}{\sqrt{3}} \right) \right] - \operatorname{arctg} \sqrt{\frac{1}{\eta} - 1} \right\} + \quad (4)$$

$$+ \frac{2A_1}{\sqrt{3}} + m f_\sigma A_2 + \frac{\rho V_1^2}{2g\sigma_s} \left( 1 - \frac{1}{\lambda^2} \right) + 2f_{uw} r \left( 1 + \frac{b_0}{b_1} \right) \sqrt{\frac{1}{\eta} - 1} \frac{\sqrt{\frac{1}{\eta} - 1}}{3Rh_1} n_\sigma$$

где коэффициенты  $A_1$  и  $A_2$  рассчитываются по выражениям:

$$A_1 = \sqrt{1 - k + k^2} \ln \frac{1}{\eta} - \frac{m}{8} \left( \frac{1}{\eta} + 1 \right) \left[ (1+k) \operatorname{arctg} \sqrt{\frac{1}{\eta} - 1} + \frac{2-k}{\frac{1}{\eta}} \sqrt{\frac{1}{\eta} - 1} \right] \sqrt{\frac{h_1}{R}} \left[ 1 + \left( k \frac{b_{cp}}{h_{cp}} \right)^2 \right] \quad (5)$$

$$+ 0,25 \sqrt{1 + \left( k \frac{b_0}{h_0} \right)^2} \operatorname{tg} \sqrt{\frac{h_1}{R}} \left( \frac{1}{\eta} - 1 \right)$$

$$A_2 = \frac{m}{2} \frac{b_0}{h_0} \frac{n}{1+n} \left( \left( \frac{1}{\eta} \right)^{1+n} - 1 \right) \quad (6)$$

Обозначения, принятые в выражениях (4–6):

$h_0$ ,  $h_1$ ,  $b_0$ ,  $b_1$  – геометрические размеры раската перед и после НК;  $f_u$  – коэффициент трения в валковых опорах НК;  $r$  – радиус трения в валковых опорах НК;  $\rho$  – плотность металла;  $g$  – ускорение силы тяжести;  $V_1$  – скорость раската на выходе из НК.

Выполнив необходимые преобразования, выражение (4) можно привести к виду

$$\begin{aligned} \psi_0 = & 2f_\sigma \sqrt{\frac{R}{h_1}} \left\{ 2\arctg \sqrt{\frac{R}{h_1}} \gamma - \arctg \sqrt{\frac{R}{h_1}} \alpha_0 \right\} + \\ & + \frac{2A_1}{\sqrt{3}} + mf_\sigma A_2 + \frac{\rho V_1^2}{2g\sigma_s} \left( 1 - \frac{1}{\lambda^2} \right) + 2f_u r \left( 1 + \frac{b_0}{b_1} \right) \sqrt{\frac{1}{\eta} - 1} \end{aligned} \quad (7)$$

В целом, выражения (4) и (7) верно отражают особенности процесса прокатки в неприводных валках, однако остается вопрос об определении величины нейтрального угла  $\gamma$ , как одного из основных параметров, характеризующих процесс прокатки.

В работах [5,6] для определения коэффициента подпора, создаваемого неприводной рабочей клетью при деформации металла в двухвалковом калибре, предложено следующее выражение

$$\frac{\sigma_0}{\sigma_s} = \ln \lambda + \frac{fR\alpha_0}{h_2} \left( \frac{1}{\lambda^{0,25} \cos(0,25\alpha_0)} - \frac{1}{\lambda^{0,75} \cos(0,75\alpha_0)} \right) \quad (8)$$

где  $\sigma_0$  – напряжение подпора, создаваемого НК;  $\sigma_s$  – напряжение текучести металла, деформируемого в очаге деформации НК;  $\lambda$  – коэффициент вытяжки в НК;  $f$  – коэффициент трения при установившемся процессе прокатки;  $h_2$  – высота полосы после деформации в НК.

Выражение (8) получено с использованием положений энергетической теории взаимодействия полосы и валков. Авторами использован подход, аналогичный приведенному в работе [1], с некоторыми упрощениями. В частности, при выводе выражения (8) не учитывается неравномерность деформации в очаге деформации НК и деформация сдвига в плоскости входа металла в валки, напряженное состояние металла в очаге деформации, расход энергии на преодоление сил трения на контакте полоса–валок в направлении уширения. Величину нейтрального угла в неприводных валках авторы работ [5,6] при выводе выражения (8) принимают постоянной и равной  $\gamma = 0,5\alpha_0$ .

С использованием выражений (2), (3), (4) и (8) нами выполнены расчеты мощности, затрачиваемой на прокатку в комплексе ПК–НК. Режимы

деформации при расчете и экспериментальные значения мощности прокатки (базовая мощность прокатки) приняты по данным работы [11].

На рис.1 показаны погрешности расчета мощности, затраченной на прокатку в комплексе ПК–НК, при изменении логарифмического показателя высотной деформации в НК.

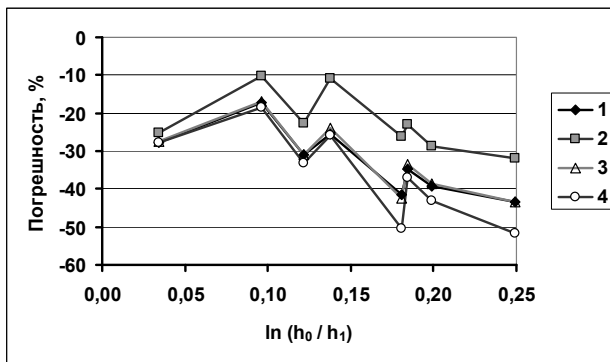


Рис.1. Погрешности расчета мощности прокатки в комплексе ПК–НК при изменении логарифмического показателя высотной деформации в НК при использовании выражений: 1 – (3); 2 – (2); 3 – (4); 4 – (8)

Из графиков, приведенных на рис.1, можно установить, что с увеличением значений логарифмического показателя высотной деформации в неприводной рабочей клети, разница между расчетными значениями мощности, определяемыми с использованием выражений (2), (3), (4), (8) и экспериментальными увеличивается (до 30–50%). Определение мощности прокатки с использованием выражения (8) дает наибольшие отклонения от экспериментальных данных.

Наименьшая погрешность расчета мощности прокатки в комплексе ПК–НК достигается при использовании выражения (2).

**Выводы.** Проведенный анализ известных зависимостей для расчета сопротивления, создаваемого двухвалковой неприводной рабочей клетью при деформации в ней металла, позволил сделать следующие выводы:

1. Выражения, полученные из условия равновесия сил при двухмерной деформации проще, чем выражения, полученные с использованием энергетической теории прокатки, однако они не учитывают ряд факторов, характеризующих процесс прокатки в неприводной рабочей клети, и поэтому могут использоваться для приближенной оценки силового взаимодействия очагов деформации в системе приводная–неприводная рабочие клети.

2. Выражения, полученные с использованием положений энергетической теории взаимодействия полосы и валков, имеют общую структуру: они учитывают, что энергия на деформацию металла в неприводных валках, подаваемая в очаг деформации неприводной рабочей клети посредст-

вом заднего подпора, расходуется на работу деформации, на преодоление трения скольжения на контактной поверхности полоса–валок и на преодоление сопротивления, создаваемого опорами неприводных валков.

3. В выражениях, полученных с использованием положений энергетической теории взаимодействия полосы и валков, для учета влияния трения скольжения на поверхности контакта полоса–валок на величину сопротивления, создаваемого неприводной рабочей клетью, используется величина нейтрального угла  $\gamma$ . Эта величина определяется авторами по разным зависимостям, которые, однако, учитывают только влияние трения в подшипниковых опорах на изменение  $\gamma$ . При этом точность результатов расчета не повышается.

4. Результаты сравнения расчетных и экспериментальных величин мощности, затрачиваемой на прокатку в комплексе приводная–неприводная рабочие клети, подтверждают необходимость совершенствования метода расчета сопротивления, создаваемого двухвалковой неприводной рабочей клетью, с учетом особенностей этого процесса деформации (способ подведения мощности в очаг деформации, действительное положение нейтрального угла и пр.).

1. Серебренников Г.З. Определение продольного деформирующего усилия при прокатке–прессовании в четырехвалковом калибре с неприводными валками / Г.З.Серебренников, Е.Н.Березин, В.Н.Выдрин // Теория и технология прокатки: Сборник научных трудов № 102. – Челябинск, 1972. – С.124–129.
2. Поляков М.Г. Деформация металла в многовалковых калибрах / М.Г.Поляков, Б.А.Никифоров, Г.С.Гун // М.: Металлургия, 1979. – 240с.
3. Непрерывная прокатка сортовой стали с использованием неприводных рабочих клетей. / А.П.Лохматов, С.М.Жучков, Л.В.Кулаков и др. // Киев: Наукова думка, 1998. – 239с.
4. Кулаков Л.В. Разработка основ энергосберегающей технологии непрерывной прокатки сортовой стали с использованием неприводных рабочих клетей: автореф. дисс. на соискание ученой степени канд. техн. наук: спец. 05.03.05 «Процессы и машины обработки давлением» / Кулаков Леонид Васильевич – Днепропетровск, 1998. – 20с.
5. Фастыковский А.Р. Теоретическая модель процесса бескалибровой прокатки с использованием резервных сил трения очага деформации / А.Р.Фастыковский, В.Н.Перетятько // Изв. вуз. Черная металлургия. – 2003. – №6. – С.18–20.
6. Фастыковский А.Р. Новые перспективы бескалиберной прокатки / А.Р.Фастыковский, В.Н.Перетятько // Производство проката. – 2003. – №6. – С.18–20.
7. Выдрин В.Н. Процесс непрерывной прокатки / В.Н. Выдрин, А.С.Федосиенко, В.И.Крайнов // М.: Металлургия, 1970. – 456с.
8. Оптимизация энергосиловых параметров непрерывной прокатки сортовой стали с использованием неприводных рабочих клетей: отчет о НИР (заключ.) / Институт черной металлургии НАН Украины; рук. Лохматов А.П.; исполн.: Лохматов А.П. [и др.]. – Днепропетровск, 1995. – 323с. – Библиогр.: с.244–253. – № ГР 0192U007218.

9. Мутьев М.С. О равновесии сил и крутящем моменте для стана дуо с верхним холостым валком / Прокатное производство. Научные труды. Выпуск XXVII. Металлургиздат, 1951г. С.77–100.
10. Суворов И.К. Опережение при прокатке в неприводных валках/ Суворов И.К. // Изв. вуз. Черная металлургия. – 1960. – №7. – С.99–102.
11. Исследование закономерностей формоизменения металла в процессе непрерывной прокатки сортовой стали в двухочаговых рабочих клетях: отчет о НИР (заключ.) / Институт черной металлургии НАН Украины; рук. Лохматов А.П.; исполн.: Лохматов А.П. [и др.]. – Днепропетровск, 1998. – 177с. – Библиогр.: с.143–151. – № ГР 0196У018480.

*Статья рекомендована к печати  
канд.техн.наук Л.Г.Тубольцевым*

**О.П.Лохматов, О.І.Лещенко, П.В.Токмаков**

**Визначення опору, що створюється двохвалковими неприводними кліттями при прокатуванні**

Виконано аналіз відомих методів для розрахунку опору, який створює двохвалкова непривідна кліть при деформації у ній металу в процесі прокатки. Проведено розрахунки з визначення потужності, що витрачається на прокатування у комплексі «привідна–непривідна робоча кліть». Порівняння отриманих значень з експериментальними даними показало, що різниця між ними досягає 10–50%. Зроблено висновок про необхідність уточнення методів розрахунку з визначення опору, який створює двохвалкова непривідна кліть в процесі прокатування.